

01;07

Ковариантные дисперсионные уравнения и тензорные эволюционные операторы для оптических волноводов

© А.В. Новицкий, Л.М. Барковский

Белорусский государственный университет,
220080 Минск, Белоруссия
e-mail: Barkovsky@bsu.by

(Поступило в Редакцию 30 декабря 2003 г.)

Операторный подход применен к решению уравнений Максвелла для последовательности круглых слоев, тензоры диэлектрической и магнитной проницаемости которых зависят от радиальной координаты. Это позволяет известный метод стратификации обобщить на цилиндрические структуры. Выводятся операторные дисперсионные уравнения для градиентных и многослойных ступенчатых изотропных круглых волокон. Получены численные решения дисперсионного уравнения для многослойного волновода, диэлектрическая проницаемость слоев которого имеет периодическую повторяемость.

Введение

В последнее время большое внимание уделяется влиянию поляризационных эффектов на работу оптических волоконных коммуникационных систем. Наиболее важными поляризационными эффектами являются поляризационно-модовая дисперсия, которая вызвана быстрым и случайно изменяющимся двулучепреломлением в оптическом волокне, и поляризационно зависящие потери. Поляризационно-модовая дисперсия является причиной случайного изменения поляризационного состояния света, а это сильно влияет на характеристики сигнала на выходе оптического волокна [1,2]. В ряде работ по волоконной оптике интенсивно обсуждаются свойства волоконных оптических гироскопов [3,4] и лазеров [5,6]. В [4] исследуется волоконный гироскоп на основе кольцевого интерферометра с контуром из световода с сильным линейным двулучепреломлением. Такие гироскопы обладают высокой чувствительностью и могут использоваться в навигации. В [6] теоретически рассматривается два различных режима генерации кольцевого двунаправленного волоконного лазера с фарадеевским вращателем. Представляет интерес разработка методов измерения показателя преломления жидкости по величине потерь света в изогнутом цилиндрическом световоде [7].

Операторные методы интенсивно развиваются в последнее время в оптике сложных сред. Тензоры отражения и пропускания света [8,9], тензорный показатель преломления [10] и оператор скоростей электромагнитных волн [11] обобщают соответствующие скалярные величины с учетом векторной природы света (спина фотона [12]). Такие операторы описывают суперпозицию собственных волн, распространяющихся с определенными скоростями и поляризациями. В рамках ковариантного формализма, разработанного Ф.И. Федоровым [13,14], уравнения Максвелла и дисперсионные уравнения записываются в компактной форме, удобной для аналитических и численных расчетов слоистых бианизотропных

структур. При этом важную роль играют эволюционный оператор и тензор импеданса. В [15] эти величины применяются к решению задач волноводного распространения, отражения и пропускания света. Из математической структуры векторных уравнений поля следует, что эволюционный оператор является блочной матрицей. Для планарных волноводов получаются операторные дисперсионные уравнения [9], которые включают в себя тензоры импеданса оболочек волновода и эволюционный оператор сердцевин. Известно обобщение матрицы импеданса на случай сферически-слоистых анизотропных сред, которые моделируют ионосферу Земли [16].

В настоящей работе мы применяем операторный метод для определения мод в круглых волокнах. Электромагнитное поле описывается с помощью систем дифференциальных уравнений первого порядка. Класс сред, для которых применимы эти системы уравнений, ограничен тензорами диэлектрической и магнитной проницаемости с радиальной неоднородностью. Такой метод давно используется при анализе планарных волноводов [17] и сводится к многослойной ступенчатой аппроксимации (этот подход называют также методом стратификации [18]). В [9] он был обобщен на случай неоднородных бианизотропных слоев волновода. Предложенный метод для получения дисперсионных уравнений демонстрируется на примере изотропного круглого волновода. Исследуются дисперсионные уравнения для многослойных ступенчатых и градиентных волноводов.

Эволюционные решения для круглых цилиндрических волноводов

Рассмотрим распространение электромагнитных волн с гармонической зависимостью напряженностей полей $\mathbf{E}(\mathbf{r}, t)$ и $\mathbf{H}(\mathbf{r}, t)$ от времени. В цилиндрической системе координат (r, φ, y) уравнения Максвелла имеют

вид

$$\left(\mathbf{b}^\times \frac{\partial}{\partial y} + \mathbf{e}_r^\times \frac{\partial}{\partial r} + \frac{1}{r} \mathbf{e}_\varphi^\times \frac{\partial}{\partial \varphi} \right) \mathbf{H}(\mathbf{r}) = -ik\varepsilon(r)\mathbf{E}(\mathbf{r}),$$

$$\left(\mathbf{b}^\times \frac{\partial}{\partial y} + \mathbf{e}_r^\times \frac{\partial}{\partial r} + \frac{1}{r} \mathbf{e}_\varphi^\times \frac{\partial}{\partial \varphi} \right) \mathbf{E}(\mathbf{r}) = ik\mu(r)\mathbf{H}(\mathbf{r}), \quad (1)$$

где $\mathbf{e}_r(\varphi)$, $\mathbf{e}_\varphi(\varphi)$, \mathbf{b} — базисные векторы, направленные по радиусу, по касательной к окружности и по образующей цилиндра; $k = \omega/c$ — волновое число в вакууме; ω — частота волны; \mathbf{b}^\times — тензор, дуальный вектору \mathbf{b} ($(\mathbf{b}^\times)_{ik} = \varepsilon_{ijk}b_j$) [10,14].

В (1) мы полагаем, что тензоры диэлектрической $\varepsilon(r)$ и магнитной $\mu(r)$ проницаемости зависят лишь от радиальной координаты r . Это возможно для тех ε и μ , которые составлены из тензоров, не зависящих от аксиальной координаты φ : единичного тензора $\mathbf{1}$, диады $\mathbf{b} \otimes \mathbf{b}$ и дуального тензора \mathbf{b}^\times . Таким образом, мы выделяем следующие виды тензоров диэлектрической (аналогично магнитной) проницаемости: 1) $\varepsilon = \varepsilon(r)\mathbf{1}$, изотропная среда; 2) $\varepsilon = \varepsilon_1(r)(\mathbf{1} - \mathbf{b} \otimes \mathbf{b}) + \varepsilon_2(r)\mathbf{b} \otimes \mathbf{b}$, одноосный кристалл, оптическая ось которого направлена вдоль вектора \mathbf{b} ; 3) $\varepsilon = \varepsilon_1(r)\mathbf{1} + \chi(r)\mathbf{b}^\times$, гиротропная среда; 4) $\varepsilon = \varepsilon_1(r)(\mathbf{1} - \mathbf{b} \otimes \mathbf{b}) + \varepsilon_2(r)\mathbf{b} \otimes \mathbf{b} + \chi(r)\mathbf{b}^\times$.

Принимая во внимание инвариантность напряженностей полей относительно координат y и φ , производим разделение переменных

$$\begin{pmatrix} \mathbf{H}(\mathbf{r}) \\ \mathbf{E}(\mathbf{r}) \end{pmatrix} = \exp(i\beta y + i\nu\varphi) \begin{pmatrix} \mathbf{H}(r, \varphi) \\ \mathbf{E}(r, \varphi) \end{pmatrix},$$

где β — продольное волновое число (постоянная пространства моды), ν — целое число.

Учитывая, что компоненты H_y, H_φ, H_r вектора $\mathbf{H}(r, \varphi)$ и аналогично компоненты поля $\mathbf{E}(r, \varphi)$ не зависят от угла φ , т.е. можно записать $\mathbf{H}(r, \varphi) = H_y(r)\mathbf{b} + H_\varphi(r)\mathbf{e}_\varphi(\varphi) + H_r(r)\mathbf{e}_r(\varphi)$, уравнения (1) принимают вид

$$\mathbf{e}_r^\times \frac{d\mathbf{H}}{dr} + \left(i\beta\mathbf{b}^\times + \frac{i\nu}{r} \mathbf{e}_\varphi^\times + \frac{1}{r} \mathbf{b} \otimes \mathbf{e}_\varphi \right) \mathbf{H} = -ik\varepsilon(r)\mathbf{E},$$

$$\mathbf{e}_r^\times \frac{d\mathbf{E}}{dr} + \left(i\beta\mathbf{b}^\times + \frac{i\nu}{r} \mathbf{e}_\varphi^\times + \frac{1}{r} \mathbf{b} \otimes \mathbf{e}_\varphi \right) \mathbf{E} = ik\mu(r)\mathbf{H}. \quad (2)$$

Таким образом, уравнения Максвелла мы свели к системе обыкновенных дифференциальных уравнений первого порядка относительно r для векторных функций \mathbf{H} и \mathbf{E} . Координата φ входит в векторы \mathbf{e}_φ и \mathbf{e}_r , которые определяют поляризацию электромагнитных волн. Видим, что независимость компонент напряженностей полей от угла φ выполняется. Система уравнений (2) соответствует четырем обыкновенным дифференциальным уравнениям и двум алгебраическим уравнениям. Алгебраические уравнения позволяют исключить две из шести компонент векторов \mathbf{E} и \mathbf{H} . Удобно оставить составляющие напряженностей полей, лежащие в плоскости, касательной к поверхности круглого цилиндра

(мы будем называть их тангенциальными составляющими). Эти компоненты непрерывны на круглой цилиндрической границе раздела двух сред. Итак, тангенциальные составляющие напряженностей полей запишем в виде $\mathbf{E}_t = I\mathbf{E}$, $\mathbf{H}_t = I\mathbf{H}$, где $I = \mathbf{1} - \mathbf{e}_r \otimes \mathbf{e}_r = -\mathbf{e}_r^\times{}^2$ — проекционный оператор на плоскость, перпендикулярную вектору \mathbf{e}_r . Вводя вектор $\mathbf{u} = (\beta/k)\mathbf{e}_\varphi - \nu/(kr)\mathbf{b}$ и учитывая соотношения $\mathbf{u}\mathbf{H} = \mathbf{e}_r\varepsilon\mathbf{E}$, $\mathbf{u}\mathbf{E} = -\mathbf{e}_r\mu\mathbf{H}$, которые следуют из (2), мы получаем связь между полными и тангенциальными составляющими напряженностей полей [8]

$$\begin{pmatrix} \mathbf{H}(r) \\ \mathbf{E}(r) \end{pmatrix} = V \begin{pmatrix} \mathbf{H}_t(r) \\ \mathbf{E}_t(r) \end{pmatrix},$$

$$V = \begin{pmatrix} \mathbf{1} - \mathbf{e}_r \otimes \mathbf{e}_r \mu / \mu_r & -\mathbf{e}_r \otimes \mathbf{u} / \mu_r \\ \mathbf{e}_r \otimes \mathbf{u} / \varepsilon_r & \mathbf{1} - \mathbf{e}_r \otimes \mathbf{e}_r \varepsilon / \varepsilon_r \end{pmatrix}, \quad (3)$$

где V — матрица восстановления, $\varepsilon_r = \mathbf{e}_r\varepsilon\mathbf{e}_r$, $\mu_r = \mathbf{e}_r\mu\mathbf{e}_r$.

Используя (3), из (2) выводим систему уравнений для $\mathbf{E}_t, \mathbf{H}_t$

$$\frac{d}{dr} \begin{pmatrix} \mathbf{H}_t(r) \\ \mathbf{E}_t(r) \end{pmatrix} = ikM(r) \begin{pmatrix} \mathbf{H}_t(r) \\ \mathbf{E}_t(r) \end{pmatrix}, \quad M = \begin{pmatrix} A & B \\ C & D \end{pmatrix}, \quad (4)$$

где

$$A = \frac{i}{kr} \mathbf{e}_\varphi \otimes \mathbf{e}_\varphi + \frac{1}{\varepsilon_r} \mathbf{e}_r^\times \varepsilon \mathbf{e}_r \otimes \mathbf{u} - \frac{1}{\mu_r} \mathbf{e}_r^\times \mathbf{u} \otimes \mathbf{e}_r \mu I,$$

$$B = -\frac{1}{\mu_r} \mathbf{e}_r^\times \mathbf{u} \otimes \mathbf{u} + \frac{1}{\varepsilon_r} I \tilde{\varepsilon} \mathbf{e}_r^\times,$$

$$C = \frac{1}{\varepsilon_r} \mathbf{e}_r^\times \mathbf{u} \otimes \mathbf{u} - \frac{1}{\mu_r} I \tilde{\mu} \mathbf{e}_r^\times,$$

$$D = \frac{i}{kr} \mathbf{e}_\varphi \otimes \mathbf{e}_\varphi + \frac{1}{\mu_r} \mathbf{e}_r^\times \mu \mathbf{e}_r \otimes \mathbf{u} - \frac{1}{\varepsilon_r} \mathbf{e}_r^\times \mathbf{u} \otimes \mathbf{e}_r \varepsilon I. \quad (5)$$

В выражениях (4), (5) M — блочная матрица, блоки A, B, C и D которой — планальные тензоры (для планального тензора A выполняется $A\mathbf{e}_r = \mathbf{e}_r A = 0$); $\tilde{\varepsilon}$ — тензор, взаимный к транспонированному тензору $\tilde{\varepsilon}$ (взаимный тензор $\tilde{\alpha}$ определяется формулой $\tilde{\alpha}\alpha = \alpha\tilde{\alpha} = |\alpha|$, где $|\alpha|$ — определитель α) [10,14]. Соотношения (5) переходят в аналогичные соотношения для плоскостой среды при $r \rightarrow \infty$, $\mathbf{e}_r \rightarrow \mathbf{q}$, $\mathbf{e}_\varphi \rightarrow \mathbf{a} = \mathbf{b} \times \mathbf{q}$, где \mathbf{q} — единичный вектор нормали к плоским слоям.

Фундаментальное решение уравнения (4) дается формулой [8]

$$\begin{pmatrix} \mathbf{H}_t(r) \\ \mathbf{E}_t(r) \end{pmatrix} = \Omega_a^r [ikM(r)] \begin{pmatrix} \mathbf{H}_t(a) \\ \mathbf{E}_t(a) \end{pmatrix},$$

$$\Omega_a^r [ikM(r)] = \int_a^r (E + ikM(r)dr), \quad E = \begin{pmatrix} I & 0 \\ 0 & I \end{pmatrix}, \quad (6)$$

где $\Omega_a^r [ikM(r)]$, $a \neq 0$ — эволюционный оператор, который выражается через мультипликативный интеграл [19].

Соотношение (6) означает, что, зная начальные векторы $\mathbf{H}_t(a)$ и $\mathbf{E}_t(a)$, мы можем найти тангенциальные компоненты напряженностей полей в любой другой точке r . Введем тензор импеданса $\Gamma(r)$ как величину, которая связывает тангенциальные компоненты напряженностей электрического и магнитного полей $\mathbf{E}_t = \Gamma \mathbf{H}_t$. Исключая векторы \mathbf{H}_t и \mathbf{E}_t , из (4) получаем тензорное уравнение Риккати для Γ [9]

$$\frac{1}{ik} \frac{d\Gamma}{dr} + \Gamma \mathbf{V} \Gamma + \Gamma \mathbf{A} - \mathbf{D} \Gamma - \mathbf{C} = 0. \quad (7)$$

Решение уравнения (7) дает два тензора импеданса $\Gamma_1(r)$ и $\Gamma_2(r)$. Таким образом, в круглом слое $r \in (a, b)$, $a \neq 0$ распространяются две волны, которые соответствуют двум независимым решениям и характеризуются импедансами $\Gamma_1(r)$ и $\Gamma_2(r)$. В слоях $0 \leq r \leq a$ и $b \leq r \leq \infty$ мы имеем одну волну, амплитуда которой конечна в точках $r = 0$ и $r = \infty$ соответственно. Как для однородного, так и для неоднородного круглого слоя тензор импеданса зависит от r , что не позволяет свести тензорное уравнение Риккати к алгебраическому уравнению. Дифференциальное уравнение (7) может быть решено численно с помощью методов, представленных в статьях [8,9].

Изотропный круглый слой

Рассмотрим однородную изотропную среду с диэлектрической и магнитной проницаемостью $\varepsilon = \text{const}$ и $\mu = \text{const}$. Тензоры (5) в этом случае принимают вид

$$\mathbf{A} = \frac{i}{kr} \mathbf{e}_\varphi \otimes \mathbf{e}_\varphi, \quad \mathbf{D} = \frac{i}{kr} \mathbf{e}_\varphi \otimes \mathbf{e}_\varphi,$$

$$\mathbf{B} = \frac{\beta v}{k^2 \mu r} (\mathbf{b} \otimes \mathbf{b} - \mathbf{e}_\varphi \otimes \mathbf{e}_\varphi) + \frac{u_1}{k^2 \mu} \mathbf{b} \otimes \mathbf{e}_\varphi - \frac{u_2}{k^2 \mu} \mathbf{e}_\varphi \otimes \mathbf{b},$$

$$\mathbf{C} = -\frac{\beta v}{k^2 \varepsilon r} (\mathbf{b} \otimes \mathbf{b} - \mathbf{e}_\varphi \otimes \mathbf{e}_\varphi) - \frac{u_1}{k^2 \varepsilon} \mathbf{b} \otimes \mathbf{e}_\varphi + \frac{u_2}{k^2 \varepsilon} \mathbf{e}_\varphi \otimes \mathbf{b},$$

где $u_1 = k^2 \varepsilon \mu - \beta^2$, $u_2 = k^2 \varepsilon \mu - v^2/r^2$.

Решение такой задачи выражается через функции Бесселя и может быть записано в виде

$$\begin{pmatrix} \mathbf{H}_t(r) \\ \mathbf{E}_t(r) \end{pmatrix} = \Omega_a^r \begin{pmatrix} \mathbf{H}_t(a) \\ \mathbf{E}_t(a) \end{pmatrix}, \quad \Omega_a^r = P(r)P^{-}(a), \quad (8)$$

где P^{-} — блочная матрица, псевдообратная P ($P^{-}P = PP^{-} = E$) [10,14].

Матрица P определяется планальными тензорами α_1 , α_2 , β_1 , β_2 и равна

$$P(r) = \begin{pmatrix} \alpha_1 & \alpha_2 \\ \beta_1 & \beta_2 \end{pmatrix},$$

$$\alpha_m = F_{v\pm}^{(m)} \left(\mathbf{b} \mp \frac{\beta v a^2}{u_{\pm}^2 r} \mathbf{e}_\varphi \right) \otimes \mathbf{b} \pm \frac{i k a \varepsilon}{u_{\pm}} F_{v\pm}^{(m)'} \mathbf{e}_\varphi \otimes \mathbf{e}_\varphi,$$

$$\beta_m = \mp \frac{i k a \mu}{u_{\pm}} F_{v\pm}^{(m)'} \mathbf{e}_\varphi \otimes \mathbf{b} + F_{v\pm}^{(m)} \left(\mathbf{b} \mp \frac{\beta v a^2}{u_{\pm}^2 r} \mathbf{e}_\varphi \right) \otimes \mathbf{e}_\varphi; \quad m = 1, 2, \quad (9)$$

где $u_{\pm}^2 = \pm a^2 u_1 = \pm k^2 a^2 (\varepsilon \mu - \beta^2/k^2)$, $F_{v+}^{(1)} = J_v(u_+ r/a)$ — функция Бесселя первого рода порядка v , $F_{v+}^{(2)} = Y_v(u_+ r/a)$ — функция Бесселя второго рода, $F_{v-}^{(1)} = I_v(u_- r/a)$ и $F_{v-}^{(2)} = K_v(u_- r/a)$ — модифицированные функции Бесселя, $F_{v\pm}^{(m)'}(x) = dF_{v\pm}^{(m)}(x)/dx$ — дифференцирование по аргументу функции, верхние индексы 1 и 2 нумеруют независимые решения уравнения Бесселя.

Тензор импеданса для каждой из волн, соответствующей независимому решению уравнения Бесселя, равен

$$\Gamma_m(r) = \beta_m(r) \alpha_m^{-}(r), \quad (10)$$

где α_m^{-} — тензор, псевдообратный α_m .

Если заданы начальные амплитуды двух волн $\mathbf{H}_{t1}(a)$ и $\mathbf{H}_{t2}(a)$, то эволюция полей выражается соотношениями

$$\begin{aligned} \mathbf{H}_{tm}(r) &= \alpha_m(r) \alpha_m^{-}(a) \mathbf{H}_{tm}(a), \\ \mathbf{E}_{tm}(r) &= \beta_m(r) \alpha_m^{-}(a) \mathbf{H}_{tm}(a). \end{aligned} \quad (11)$$

Эволюционный оператор (8) однородного изотропного слоя равен произведению блочных матриц $P(r)$ и $P^{-}(a)$ и сам является блочной матрицей. Тензоры α_1 , α_2 , β_1 , β_2 задаются цилиндрическими функциями $F_{v\pm}^{(1,2)}$ и модовыми постоянными β и v . В слое $a \leq r \leq b$, $a \neq 0$ распространяются две волны, напряженности полей которых даются формулами (11). В слое $0 \leq r \leq a$ (аналогично $b \leq r \leq \infty$) одна из независимых волн не удовлетворяет условиям, которые накладываются на \mathbf{H} и \mathbf{E} в точке $r = 0$ ($r = \infty$). Таким образом, в сердцевине и оболочке волновода может распространяться только одна волна.

Дисперсионные уравнения и поляризации мод изотропных волокон

Применим полученные результаты к описанию распространения электромагнитных волн в изотропных волоконных волноводах с круглым поперечным сечением и бесконечной оболочкой. Мы рассмотрим ступенчатые многослойные волноводы и градиентные волокна с неоднородной сердцевиной. Нас интересует метод получения дисперсионных уравнений и поляризационного состояния мод волновода. Для ступенчатого волновода с постоянными диэлектрическими и магнитными проницаемостями сердцевины ε_{co} , μ_{co} и оболочки ε_{cl} , μ_{cl} и радиусом сердцевины a в качестве решений уравнения Бесселя обычно выбирают

$$F_v = \begin{cases} F_{v+}^{(1)} = J_v(u_+ r/a), & r < a, \\ F_{v-}^{(2)} = K_v(u_- r/a), & r \geq a. \end{cases}$$

Такие решения обеспечивают осциллирующий характер поля в сердцевине и затухание волн в оболочке. Тогда тензоры импеданса (10) на границе $r = a$ (тензоры поверхностного импеданса) принимают вид

$$\begin{aligned}\Gamma_{co} &= -\frac{iu}{ka\epsilon_{co}} \frac{J_v(u)}{J'_v(u)} \left(\mathbf{b} - \frac{\beta va}{u^2} \mathbf{e}_\varphi \right) \otimes \left(\mathbf{e}_\varphi + \frac{\beta va}{u^2} \mathbf{b} \right) \\ &\quad - \frac{ika\mu_{co}}{u} \frac{J'_v(u)}{J_v(u)} \mathbf{e}_\varphi \otimes \mathbf{b}, \\ \Gamma_{cl} &= -\frac{iw}{ka\epsilon_{cl}} \frac{K_v(w)}{K'_v(w)} \left(\mathbf{b} + \frac{\beta va}{w^2} \mathbf{e}_\varphi \right) \otimes \left(\mathbf{e}_\varphi - \frac{\beta va}{w^2} \mathbf{b} \right) \\ &\quad + \frac{ika\mu_{cl}}{w} \frac{K'_v(w)}{K_v(w)} \mathbf{e}_\varphi \otimes \mathbf{b},\end{aligned}\quad (12)$$

где $u^2 = k^2 a^2 (\epsilon_{co} \mu_{co} - \beta^2 / k^2)$, $w^2 = k^2 a^2 (\beta^2 / k^2 - \epsilon_{cl} \mu_{cl})$.

Умножая далее граничные условия

$$\begin{pmatrix} \mathbf{H}_t^{(co)}(a) \\ \Gamma_{co} \mathbf{H}_t^{(co)}(a) \end{pmatrix} = \begin{pmatrix} \mathbf{H}_t^{(cl)}(a) \\ \Gamma_{cl} \mathbf{H}_t^{(cl)}(a) \end{pmatrix}\quad (13)$$

на блочную матрицу $(\Gamma_{cl} - I)$, получаем уравнение

$$\Theta \mathbf{H}_t^{(co)}(a) = 0,\quad (14)$$

где $\Theta = \Gamma_{cl} - \Gamma_{co}$ — планальный тензор ($\mathbf{e}_r \Theta = \Theta \mathbf{e}_r = 0$).

Таким образом, тензор Θ имеет два собственных вектора \mathbf{e}_r и $\mathbf{H}_t^{(co)}(a)$, которые соответствуют нулевому собственному значению. Это означает, что Θ является диадой, и инвариантное дисперсионное уравнение принимает вид [9]

$$\bar{\Theta}_t = 0,\quad (15)$$

где $\bar{\Theta}_t$ — инвариант, след тензора, взаимного к Θ .

Учитывая соотношение $\bar{\Theta} = \bar{\Theta}_t \mathbf{e}_r \otimes \mathbf{e}_r = 0$ и теорему Гамильтона–Кэли

$$\bar{\Theta} - \bar{\Theta}_t = \Theta(\Theta - \Theta_t),\quad (16)$$

дисперсионное уравнение (15) перепишем в виде [9]

$$(\Theta^2)_t = (\Theta_t)^2.\quad (17)$$

Подставляя тензоры импеданса (12) в Θ , в рассматриваемом случае ступенчатого волновода имеем дисперсионное уравнение, которое совпадает с известным соотношением в теории круглых волокон [18],

$$\begin{aligned}&\left(\frac{J'_v(u)}{u J_v(u)} + \frac{\mu_{cl}}{\mu_{co}} \frac{K'_v(w)}{w K_v(w)} \right) \left(\frac{J'_v(u)}{u J_v(u)} + \frac{\epsilon_{cl}}{\epsilon_{co}} \frac{K'_v(w)}{w K_v(w)} \right) \\ &= \frac{\beta^2 v^2}{k^2 \epsilon_{co} \mu_{co}} \frac{(u^2 + w^2)^2}{u^4 w^4}.\end{aligned}$$

Решение уравнения (14) дает также тангенциальные составляющие вектора напряженности поля на границе раздела двух сред $\mathbf{H}_t^{(co)}(a)$. Действительно, умножая (16)

на произвольный вектор \mathbf{p} , для которого выполняется $(\Theta - \Theta_t)\mathbf{p} \neq 0$, и сравнивая с (14), получаем

$$\mathbf{H}_t^{(co)}(a) = (\Theta - \Theta_t)\mathbf{p}.\quad (18)$$

Амплитуды независимых волн в произвольной точке сердцевины r определяются согласно соотношениям (11) при $\mathbf{H}_{t1}(a) = \mathbf{H}_t^{(co)}(a)$, $\mathbf{H}_{t2}(a) = 0$. Векторы $\mathbf{H}_t(r)$, $\mathbf{E}_t(r)$ в оболочке находим аналогично, полагая $\mathbf{H}_{t1}(a) = 0$, $\mathbf{H}_{t2}(a) = \mathbf{H}_t^{(co)}(a)$. Полные векторы напряженностей выражаем с помощью матрицы восстановления (см. формулу (3)). Тогда поляризацию мод волновода в сердцевине (аналогично в оболочке) запишем в виде

$$\begin{pmatrix} \mathbf{H}^{(co)}(r) \\ \mathbf{E}^{(co)}(r) \end{pmatrix} = V \begin{pmatrix} \alpha_1(r) \\ \beta_1(r) \end{pmatrix} \alpha_1^-(a) (\Theta - \Theta_t)\mathbf{p},\quad (19)$$

причем в эти выражения мы подставляем постоянные распространения β , которые находим из дисперсионного уравнения (17). Таким образом, для решения волноводной задачи необходимо знать тензор Θ . С его помощью мы записываем дисперсионное уравнение (17) и определяем поляризацию мод волновода (19).

В случае многослойного круглого волновода, диэлектрические и магнитные проницаемости которого имеют вид

$$\begin{aligned}\epsilon &= \begin{cases} \epsilon_{co}, & r < a_0, \\ \epsilon_j, & a_{j-1} \leq r \leq a_j, \\ \epsilon_{cl}, & r \geq a_n, \end{cases} \\ \mu &= \begin{cases} \mu_{co}, & r < a_0, \\ \mu_j, & a_{j-1} \leq r < a_j, \\ \mu_{cl}, & r \geq a_n, \end{cases} \quad j = 1, \dots, n,\end{aligned}$$

из граничных условий следует соотношение

$$\Theta \mathbf{H}_t^{(co)}(a_0) = 0, \quad \Theta = (\Gamma_{cl} - I) \Omega_{a_0}^{a_n} \begin{pmatrix} I \\ \Gamma_{co} \end{pmatrix}.\quad (20)$$

Эволюционный оператор $\Omega_{a_0}^{a_n}$ равен произведению эволюционных операторов (8) каждого из слоев в следующем порядке:

$$\begin{aligned}\Omega_{a_0}^{a_n} &= P_n(a_n) P_n^-(a_{n-1}) P_{n-1}(a_{n-1}) P_{n-1}^-(a_{n-2}) \dots \\ &\dots P_1(a_1) P_1^-(a_0).\end{aligned}\quad (21)$$

Для градиентного волновода вида

$$\epsilon = \begin{cases} \epsilon_{co}, & r < a, \\ \epsilon(r), & a \leq r < b, \\ \epsilon_{cl}, & r \geq b, \end{cases} \quad \mu = \begin{cases} \mu_{co}, & r < a, \\ \mu(r), & a \leq r < b, \\ \mu_{cl}, & r \geq b, \end{cases}$$

из граничных условий получаем выражение, аналогичное (20), но в котором $\Omega_{a_0}^{a_n}$ необходимо заменить на эволюционный оператор неоднородного слоя Ω_a^b . Его можно представить в виде мультипликативного интеграла (6). При численном расчете величину Ω_a^b можно

определить двумя способами. Первый состоит в разбиении отрезка (a, b) на n частей, причем в пределах каждого отрезка разбиения (r_j, r_{j+1}) , $j = 0 \dots (n-1)$ блочная матрица M считается постоянной и равной $M(r_j)$. Тогда мультипликативный интеграл можно представить произведением экспонент с матричным аргументом

$$\Omega_a^b = \exp(ikM(r_{n-1})\Delta r_{n-1}) \exp(ikM(r_{n-2})\Delta r_{n-2}) \dots \dots \exp(ikM(r_0)\Delta r_0), \quad (22)$$

где $r_n = b$, $r_0 = a$, $\Delta r_j = r_{j+1} - r_j$.

Эволюционный оператор однородного слоя также может вычисляться с помощью формулы (22). Использование второго способа предполагает разбиение неоднородного слоя на n однородных слоев. В этом случае для вычисления эволюционного оператора можно воспользоваться формулой (21). Выражение (21) определяет мультипликативный интеграл точнее, чем (22), при одинаковом числе слоев n , на которые разбивается неоднородное волокно. С другой стороны, (22) не требует вычисления специальных функций, которые входят в блочную матрицу P , что может сократить время численного расчета мультипликативного интеграла.

Численные расчеты. Выводы

В качестве примера рассмотрим периодическую многослойную структуру вида

$$\varepsilon = \begin{cases} \varepsilon_{co}, & r < a, \\ \varepsilon_{cl}, & a + (j-1)d \leq r < a + (j-1/2)d, \\ \varepsilon_{co}, & a + (j-1/2)d \leq r < a + jd, \\ \varepsilon_{cl}, & r \geq a + nd, \end{cases}$$

$$\mu = 1, \quad j = 1, \dots, n,$$

где a — радиус сердцевинки волновода, n — число периодов ширины d .

Первую половину периода $d/2$ занимает среда с диэлектрической проницаемостью ε_{cl} , вторую — с $\varepsilon_{co} > \varepsilon_{cl}$. Моды такого волокна определяются из дисперсионного уравнения (17). Планарный тензор Θ вычисляется по формуле (20), а эволюционный оператор равен произведению матриц (21).

На рисунке представлены решения дисперсионного уравнения при $\nu = 0, 1, 2$. При $\nu = 0$ мы имеем TE - и TM -моды. Для всех других ν моды являются гибридными, т.е. ни одна из продольных компонент полей E_y и H_y не равна нулю. Тип гибридной моды определяется величиной отношения продольных компонент электрического и магнитного полей [18]

$$\delta = \frac{E_y}{iH_y} = \frac{\mathbf{b}\Gamma_{co}(a)(\Theta - \Theta_t)\mathbf{p}}{i\mathbf{b}(\Theta - \Theta_t)\mathbf{p}}.$$

Значение $\delta > 0$ соответствует HE -моду, а $\delta < 0$ — EH -моду. HE_{11} -мода обладает наименьшей частотой

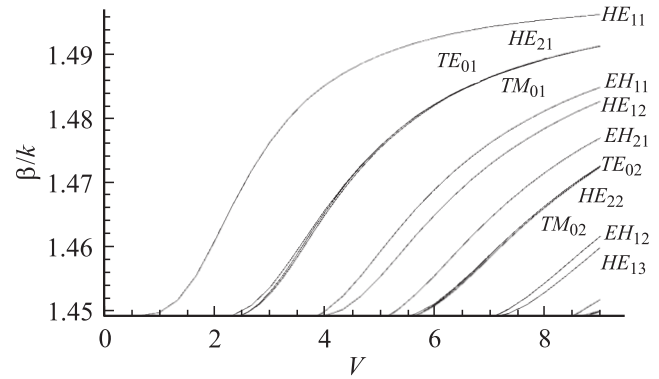


График зависимости безразмерной постоянной распространения β/k от волоконного параметра $V = ka \sqrt{\varepsilon_{co} - \varepsilon_{cl}}$ для мод волновода с периодическим чередованием слоев при $\nu = 0, 1, 2$. Параметры задачи: $\varepsilon_{co} = 2.25$, $\varepsilon_{cl} = 2.10$, $d = 0.4a$, $n = 5$.

отсечки и является основной модой. Волновод считается одномодовым (поддерживает только основную моду) при значениях волоконного параметра $V = ka \sqrt{\varepsilon_{co} - \varepsilon_{cl}}$, меньших частоты отсечки следующей моды (согласно рисунку, $V < 2.4$).

Таким образом, получены инвариантные дисперсионные уравнения и поляризации мод круглых многослойных изотропных волноводов. Громоздкость выкладок при аналитическом выводе дисперсионных соотношений компенсируется общностью подхода и возможностью алгоритмизировать задачу вне зависимости от сложности сред (в рассматриваемом классе сред) и количества слоев волокна. В случае анизотропных волокон, тензоры диэлектрической и магнитной проницаемости которых комплексны и не зависят от азимутальной координаты, мы можем также использовать полученные формулы для дисперсионного уравнения (17) и поляризации мод (18). При этом постоянные распространения β выражаются комплексными числами, т.е. происходит затухание мод. Если тензоры $\varepsilon(r, \varphi)$, $\mu(r, \varphi)$ не изотропны в поперечном сечении волновода либо имеются отклонения поперечного сечения волокна от круглой формы, то уравнения (2)–(5) неприменимы. В этом случае необходимо решать систему уравнений Максвелла в частных производных для напряженностей электрического и магнитного полей.

Список литературы

- [1] Willner A.E. // OPN Trends. 2002. Vol. 1. N 3. P. 16–21.
- [2] Zweck J., Lima Jr. I.T., Sun Yu. et al. // Opt. Phot. News. 2003. Vol. 14. N 11. P. 30–35.
- [3] Андропова А.И., Малькин Г.Б. // УФН. 2002. Т. 172. № 8. С. 849–873.
- [4] Малькин Г.Б., Позднякова В.И. // Опт. и спектр. 2003. Т. 95. Вып. 4. С. 646–656.
- [5] Zenteno L.A., Walton D.T. // Opt. Phot. News. 2003. Vol. 14. N 3. P. 39–41.

- [6] *Киян Р.В., Фотиади А.А., Шакин О.В.* // Письма в ЖТФ. 2003. Т. 29. Вып. 9. С. 24–28.
- [7] *Борисов А.Г., Волкова Т.В., Ганьшин В.А.* и др. // Опт. журнал. 2003. Т. 70. № 9. С. 9–13.
- [8] *Barkovskii L.M., Borzdov G.N., Lavrinenko A.V.* // J. Phys. A. 1987. Vol. 20. P. 1095–1106.
- [9] *Borzdov G.N.* // J. Math. Phys. 1997. Vol. 38. N 12. P. 6326–6366.
- [10] *Барковский Л.М., Фурс А.Н.* Операторные методы описания оптических полей в сложных средах. Минск: Беларуская навука, 2003. 286 с.
- [11] *Барковский Л.М., Фурс А.Н.* // Опт. и спектр. 2001. Т. 90. С. 632–639.
- [12] *Loudon R.* // OPN Trends. 2003. Vol. 3. N 1. P. 6–11.
- [13] *Федоров Ф.И.* Оптика анизотропных сред. Минск: Изд-во АН БССР, 1958. 380 с.
- [14] *Федоров Ф.И.* Теория гиротропии. Минск: Наука и техника, 1976. 456 с.
- [15] *Barkovskii L.M., Borzdov G.N., Fedorov F.I.* // J. Mod. Opt. 1990. Vol. 37. P. 85–97.
- [16] *Краснушкин П.Е., Байбулатов Р.Б.* // ДАН СССР. 1968. Т. 182. № 2. С. 294–297.
- [17] *Strattonnikov A.A., Bogatov A.P., Drakin A.E.* et al. // J. Opt. A. 2002. Vol. 4. P. 535–539.
- [18] *Адамс М.* Введение в теорию оптических волноводов. М.: Мир, 1984. 512 с.
- [19] *Гантмахер Ф.П.* Теория матриц. М.: Наука, 1967. 575 с.